

EX P&N CISA 1

11

$$p = 1 \text{ GeV} \quad e^+/\pi^+/K^+/p$$

$$m_e = 0.511 \text{ MeV}$$

$$m_\pi = 140 \text{ MeV}$$

$$m_K = 494 \text{ MeV}$$

$$m_p = 938 \text{ MeV}$$

$$\checkmark \text{ for } \text{low } x \quad \beta > \frac{1}{n}$$

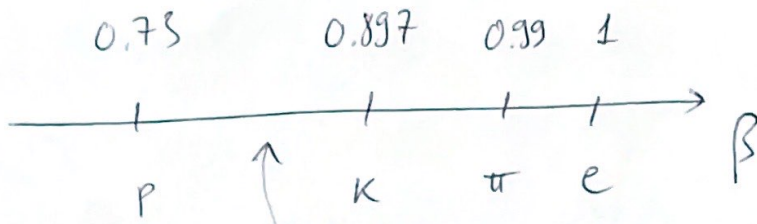
Calc β :

$$\beta_e = \frac{p}{E_e} = \frac{p}{\sqrt{m_e^2 + p^2}} = 0.999999999 \dots \sim 1$$

$$\beta_\pi = \frac{p}{\sqrt{m_\pi^2 + p^2}} = 0.990$$

$$\beta_K = 0.897$$

$$\beta_p = 0.73$$



se scelgo un \checkmark con $\beta_p < \frac{1}{n_1} < \beta_k$



ha per $k/\pi/e$
no ha per p .

→ bastano prendere 3 \checkmark :

$$\beta_p < \frac{1}{n_1} < \beta_k$$

$$\beta_k < \frac{1}{n_2} < \beta_\pi$$

$$\beta_\pi < \frac{1}{n_3} < \beta_e \sim 1$$

IN QUESTO MODO

	C_1	C_2	C_3
p	x	x	x
k	x	x	x
π	✓	✓	x
e	✓	✓	✓

← se non ha
trigger serve
4° \checkmark

$$\Delta E_e = \Delta E_{\text{ion}} + \Delta E_{\text{brem}}$$

[4]

↑
non sappiamo z qual'era potenza
calcoleremo E_c

Ma sicuramente a quella energia dentro BNSM

$$\text{visto che } E_c \sim \frac{700 \text{ MeV}}{z} \leq 700 \text{ MeV}$$

$$\text{e } E_e \sim p = 5 \text{ GeV}$$

in ogni caso

$$\Delta E_{\text{ion}} = \left(\frac{dE}{dx} \right)_{\text{ion}, e} \cdot d = 2.5 \text{ MeV/cm} \cdot 10 \text{ cm} = 25 \text{ MeV}$$

$$\Delta E_{\text{brem}} = E \left(1 - e^{-d/X_0} \right) = 5 \text{ GeV} \left(1 - e^{-10/40} \right) = 1.11 \text{ GeV}$$

$$\Rightarrow \Delta E_e = 25 \text{ MeV} + 1.11 \text{ GeV} = 1.135 \text{ GeV}$$

→ dopo il primo blocco:
 $\leftarrow = \sqrt{p^2 + m_p^2} = 5.09 \text{ GeV}$

$$E'_p = \overset{5.07}{E_p} - \Delta E_p = 5.09 \text{ GeV} - 0.02 \text{ GeV} = \text{4.97 GeV}$$

$$E'_e = \overset{5}{E_e} - \Delta E_e = 5 \text{ GeV} - 1.135 \text{ GeV} = 3.87 \text{ GeV}$$

$$\uparrow \\ \sim p = 5 \text{ GeV}$$

⑤ raggio di curvatura ~~dopo il punto focale~~
e derivare da cui si vede alla fine
di spettrometro magnetico

5

$$R = \frac{p}{qB} \rightarrow R[m] = \frac{p[GeV]}{0.3 \cdot B[T]}$$

$$\left\{ \begin{array}{l} p'_p = \sqrt{E_p'^2 - m_p^2} = 4.98 \text{ GeV} \\ p'_e = \sqrt{E_e'^2 - m_e^2} \approx E_e' = 3.87 \text{ GeV} \end{array} \right.$$

$$\Rightarrow \left\{ \begin{array}{l} R_p = \frac{4.98}{0.3 \cdot 2} = 8.30 \text{ m} \\ R_e = \frac{3.87}{0.3 \cdot 2} = 6.45 \text{ m} \end{array} \right.$$

$$\Rightarrow \left\{ \begin{array}{l} x_p = \frac{0.3 \cdot BL^2}{2p'_p} = 24 \text{ cm} \\ x_e = \frac{0.3 \cdot BL^2}{2p'_e} = 31 \text{ cm} \end{array} \right.$$

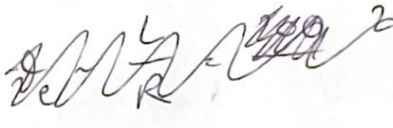


© Qual altura do segundo bloco e qual a energia perdida?

16

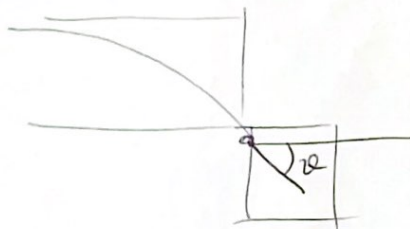
Segundo bloco está a $x_2 = 28 \text{ cm}$

\Rightarrow e passa pela altura $x_e > x_2$

Escaras com ângulo 

$$\tan \frac{\theta_e}{2} = \frac{x}{L}$$

$$\Rightarrow \theta_e = 2 \tan^{-1} \left(\frac{x}{L} \right) = 0.3 \text{ rad}$$



\Rightarrow altura real d em

$$d' = \frac{d}{\cos \theta_e} = \frac{10 \text{ cm}}{0.95} = 10.5 \text{ cm}$$

$$\Rightarrow \cancel{E} \quad E'' = E' - \Delta E'$$

$$\Delta E' = \Delta E_{\text{ion}} + \Delta E_{\text{brn}}$$

$$\Delta E_{\text{ion}}' = \left(\frac{dE}{dx} \right)_2 \cdot d' = 3 \cdot 10.5 = 31.5 \text{ MeV}$$

$$\begin{aligned} \Delta E_{\text{brn}}' &= E' (1 - e^{-d'/x_0}) = E' (1 - e^{-10.5/35}) = \\ &= 3.87 (1 - e^{-10.5/35}) = \\ &= 1 \text{ GeV} \end{aligned}$$

$$\Rightarrow \Delta E = 1.03 \text{ GeV} \Rightarrow E'' = 3.87 - 1.03 = 2.84 \text{ GeV}$$

CONVERSI, PANCINI, PICCIONI

7

FINE ANNI '30 / INIZIO '40

CONTESTO: Scoperta componente "penetrante"
di raggi cosmici.

massa fra 100 e 200 MeV

che partecola è?

si conoscevano $p/\bar{e}/\mu$ e da poco anche e^+
(si pensava di aver diviso)

Nel 1935 Yukawa predice p.l.h. con massa
fra m_e e m_p "mesone": portatore di forza forte.
Viste che range di forza forte è $\sim 1 \text{ fm} = 10^{-15} \text{ m}$

$$\Rightarrow \frac{(\hbar/c)}{10^{-15} \text{ m}}$$

\Rightarrow per lunghezza d'onda di de Broglie

$$\lambda = \frac{\hbar/c}{m} \Leftrightarrow m = \frac{\hbar/c}{\lambda} = \frac{200 \text{ MeV fm}}{1 \text{ fm}} \sim 200 \text{ MeV}$$
$$\Downarrow$$
$$mc^2 = \frac{\hbar c}{\lambda} = \frac{200 \text{ MeV fm}}{1 \text{ fm}} \sim 200 \text{ MeV}$$

18

Ma oggi sappiamo che forte forte
impossibile da gestire, un in approx di base E
i prova sono perturbati (e infatti $m_{\pi} = 140 \text{ MeV}$
 $\sim 200 \text{ MeV}$)

In domanda di questi anni: raggi cosmic "pericolosi"
sono in particelle da Yukawa?

⇒ CONVERSI PANCINI PICCOLI

SOTTO LE BOMBE!

1943 - bombardamento allentato di San Geronzo
> 80 bombe colpiscono altri universitari

⇒ sperimento apparato sperimentale nei sotterranei
del Vesuvio (⇒ più vicino al Vulcano)

PANCINI dopo 8 settembre va al Nord per
consultare con i partigiani in Veneto

⇒ esperimento ^{continuo} ~~forte~~ da Carrara e Piacenza

carrette tirate a mano ~~da~~ da manipolo di
studenti mentre Arnoldi faceva da bibliotecario
in bicicletta

PRIMO ESPERIMENTO: CONVERSI E PICIONI 1944

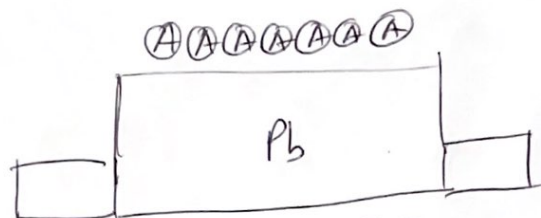
9

OBIETTIVO: MISURARE LA VITA MEDIA
DEL MESOTRONE

SI SAPEVA CHE $\mu^+ \rightarrow e^+ + \dots$

~~2/2/2/2~~

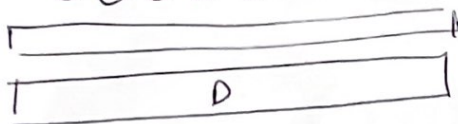
SI VOLEVA FERMARLI
IN ASSORBITORI E
CONTARE DECADIMENTI



(A) (B) (B) (B) (B) (B) (B) = 5 cm di Fe

(D) [ASSORBITORE] (D)

(D) (C) (C) (C) (C) (C) (C) (D)

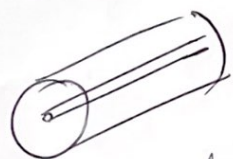


← LASTRA DI Pb

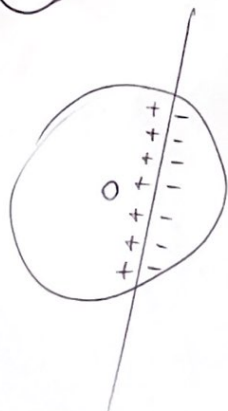
~~2/2/2/2~~

(A) + (B) in coincidenza

(A) (B) (C) (D) sono contatori Geiger



HV fin Pb e parete
riempita con gas



p.la carica prima e μ^+
dopo \Rightarrow HV e' fulminea
alla dc (+) e (-)
e' allentata \Rightarrow scien
 \rightarrow conto

TUIGEN

10

(A+B) in coincidence \rightarrow μ de vane ngr
ditt vers anord.

(C) in coincidence absolute
en delay variable \rightarrow μ s ferme in
anord. e
dop in μ deerte
producent elctre

! (D) \rightarrow veto

van ngr μ de van s van ferme
o st-b

$$\Delta := (A \& B) \& !D - (A \& B) \& C \& !D$$

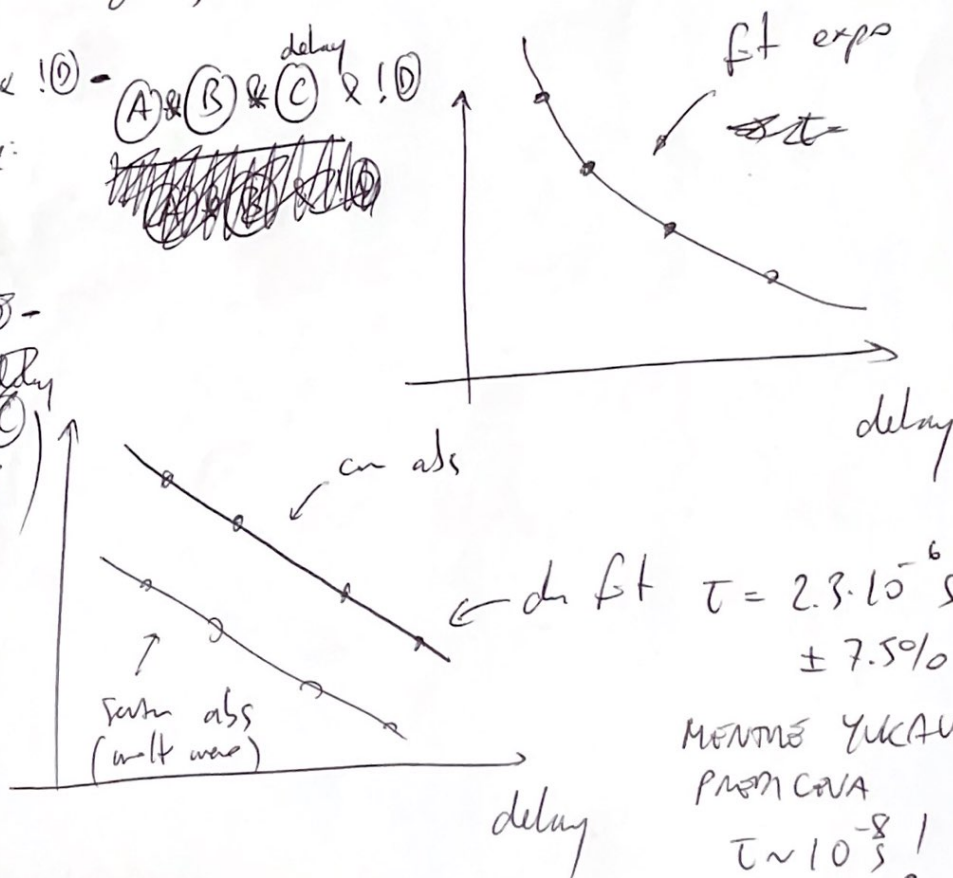
~~anord:~~

~~(A \& B) \& !D~~
~~(A \& B) \& C \& !D~~

~~(A \& B) \& !D~~
~~(A \& B) \& C \& !D~~

$\log(\Delta)$

$\log(\Delta)$



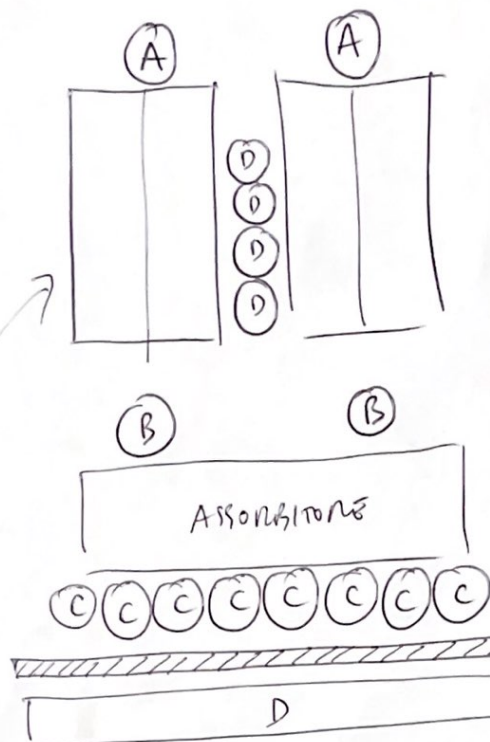
de ft $\tau = 2.3 \cdot 10^{-6} \text{ s}$
 $\pm 7.5\%$

MENTRE YUKAWA
PROTONA

$\tau \sim 10^{-8} \text{ s}!$
($\tau_{\pi} = 2.6 \cdot 10^{-8} \text{ s}$)

SECONDO ESPERIMENTO : CONVERSI PARTICI PICCOLI
1945-46

11

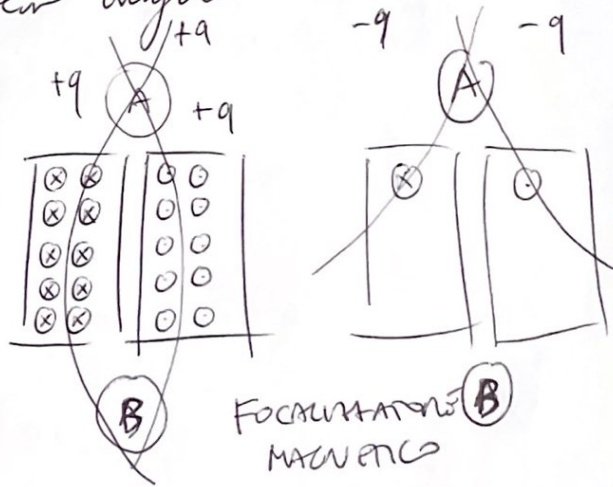


COINCIDENTA:

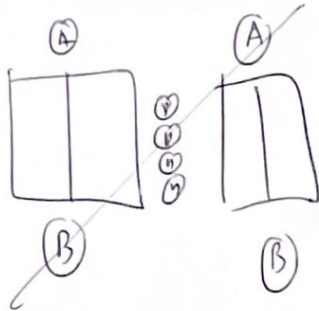
$$(A) \& (B) \& \overset{\text{delay}}{(C)} \& !(D)$$

STUDIO SEMPLICE

$$\Delta = \text{III} - \text{IV} = (A) \& (B) \& !(D) - (A) \& (B) \& \overset{\text{delay}}{(C)} \& !(D)$$



\Rightarrow coincidenza (A) & (B) selezione con carica $\pm q$



rotto (D) per evitare
il diagramma

(12)

^{delay}
(A) & (B) & (C) & (D)

Poi come prima: ~~espettando~~ con

scelgono μ che sono stati fermati nell'antifone
e sono deceduti in elettroni (i denti)

QUINDI MISPERO A PRIMO ESPERIMENTO POTEVANO
SELEZIONARE CARICA. PERCHÉ UTILE?

YUKAWA pensa che se mesomero e particella
di mediatrice di forza forte, allora quanto vellelento

$\Rightarrow \pi^-$ quasi viene attratto dai nuclei

\Rightarrow si sovrappone con nuclei

\Rightarrow si annichila con un neutrone

\rightarrow sempre (decade) ~~ret~~ con

τ tipico della forza forte $\sim 10^{-23}$ s

$\Rightarrow \pi^+$ invece si ferma e sente repulsione
dei nuclei

(N)

\Rightarrow si ferma lontano dai nuclei

(N)

π^+

(N)

\Rightarrow decade con la sua vita media

$\tau \sim 10^{-8}$ s

$\tau \sim 10^{-6}$ s μ

⇒ con un delay su (C) fino a oggi

(13)

con ASSONATIONS di Fermi

per $+q$: rate di 0.33 event/orn

per $-q$: rate di 0.07 event/orn

$NAT(-q) \ll NAT(+q) \Rightarrow$ sembra essere in accordo
con previsioni di YUKAWA

($-q$ decade a $t \sim 0 \Rightarrow$ con delay 6 pad) (over trigger IV in III)

poi CAMBIAMO ASSONATIONS!

con ASSONATIONS di GMATIF (CARBONIO)

$+q$ e $-q$ fanno rate simili! CONTINUA YUKAWA!

⇒ MOTIVAZIONE NON

È PARTICOLARE DI YUKAWA

⇒ è un paradosso
MART → (M)

Come MA? noi oggi
SAPPIAMO CHE SONO μ

$\mu^- \rightarrow$ attrito da nuclei

→ orbita in p^+

→ decade con $\tau \sim 10^{-6} s$

$\mu^+ \rightarrow$ respinto da nuclei uguale

→ si ferma lontano

→ decade con $\tau \sim 10^{-6} s$

e il Fermi?

CATTURA K del μ^- : $\bar{\mu} + p \rightarrow n + \nu_\mu$
(prob ~ 74) SENZA ELETTRONI!

WHO ORDERED THAT?

APRÈ LE RORRE
DELLA FISICA DELLE
PARTICELLE

(SI PENSAVA CI FOSSE
SOLO $e/p/n$, MA C'È
UN INTERO ZOO)